

国鉄橋設 正会員 佐藤 勉  
 国鉄橋設 正会員 石橋 忠良  
 国鉄橋設 正会員 長田 晴道

§1 まえがき

鉄筋コンクリート構造物は、一般に耐久性にすぐれ永久構造物として適している。しかし現行の設計では、ひびわれと耐久性に関する設計が不明確であるため、より実用的なものとする必要があると思われる。今回の報告は、こうした目的で行った実橋のひびわれと鋼材の腐食状況調査、主として曲げひびわれに関する調査結果を述べるものである。

§2 調査橋梁

今回の調査は、丁形断面の単純桁(8橋梁23連)について実施し、表-1にその8橋梁(A~H)のスパン、調査場所、海岸からの距離、構造物の経年を示した。調査した8橋梁は、比較的新しく昭和35年以降に建設されたものばかりで、また海岸からの距離も離れており海岸の影響も直接受けていない。しかし、考慮すべき環境条件の相違としては、A、B、C橋梁は冬期間中かなり厳しい寒冷下にさらされており、D橋梁は工業地帯に存在するためコンクリートの劣化が進行しやすい条件下にあると思われることである。

§3 調査項目及び方法

調査項目は、各橋梁ともひびわれ分布、ひびわれ長さ、ひびわれ幅、コンクリート中性化深さ、鉄筋のかぶり、鉄筋の腐食状況について実施した。(表-2)ひびわれ分布、長さ、幅の確認位置は、スパン中央と1/4点の各1.5m区間における下縁及び腹部分で行った。なお、ひびわれ幅はフラックゲージにてひびわれ方向に対して直角に測った値である。コンクリート中性化深さは、桁下面での最大ひびわれ(曲げひびわれ)発生位置において、鉄筋位置までコンクリートを研りフェノールフタレン1%溶液を噴霧し、赤変しない部分の深さをメスにより1mm単位まで読みとった。中性化深さは、4点突刺の平均値とした。また、研り出した鉄筋の腐食状況は目視により観察し、その程度を表-2に示すI~IVのランクに従って分類するものとした。

§4 調査結果

ひびわれ発生分布は、各橋梁それぞれ異っており、特にA、F、G橋梁は他の橋梁に比べひびわれがあまり見られなかった。最大ひびわれ幅も、全橋梁を通じて0.1~0.25mm程度であった。(表-3)図-1は、構造物の経過年数と中性化深さの関係を整理したものである。その分布にはばらつきが大きいのは、環境条件の違いが影響しているものと考えられる。特にA、B、C橋梁は中性化がほとんど見られないのに対し、D橋梁は非常

表-1 調査橋梁

(8橋梁23連)							
NO.	橋梁	構造形式	スパン(m)	調査場所	海岸からの距離(km)	経年	調査連数
1	A	単丁桁	15.8	北海道	1.5	15	2
2	B	—	15.8	—	15.0	18	4
3	C	—	22.1	—	6.0	14	4
4	D	—	19.0	關 東	3.8	11	5
5	E	—	12.9	北 陸	18.3	23	2
6	F	—	12.9	—	6.6	20	2
7	G	—	22.1	—	9.8	18	2
8	H	—	22.1	關 西	—	9	2

表-2 調査項目及び方法

調査項目	調査位置及び方法
ひびわれ分布 ひびわれ長さ ひびわれ幅	桁スパンの1/2、1/4点における下縁及び腹部のひびわれ(巾0.05mm以上)を対象
コンクリート中性化深さ	桁下縁での最大ひびわれ部を対象(フェノールフタレン1%溶液を使用)
鉄筋のかぶり	中性化測定位置において、主鉄筋・スタークラップのかぶり
鉄筋の腐食状況	中性化測定位置において、鉄筋の発錆状況を目視により観察し、その程度をI~IVに分類 I ..... 発錆がない II ..... 斑点又は部分的な赤錆がある III ..... 全体に赤錆がある IV ..... 黒錆又は浮き錆で断面欠損がある

に中性化が進んでいた。しかし、表-3に示すよう  
D橋梁の鉄筋の腐食は軽度の錆しか見られず、中性化  
は直接腐食の原因とはならないようである。なお、図  
-1に中性化速度の推定式(岸谷の式)<sup>1)</sup>より、水セメ  
ント比60%と仮定した値を示した。

表-3に鉄筋のかぶりと腐食状況を列記したが、表  
に示されるよう腐食ランクはすべてIとIIに限定され  
ているため判断は難しいが、今回の場合かぶりはすべて  
50mm以上確保されているため、I、IIランクの  
錆しか発生しなからと考えられる。

図-2に引張鉄筋位置における最大ひびわれ幅と、  
 $\sqrt{ds}/1 + \text{等倍}$  を示した。

<記号>

ds----引張鉄筋の圆心から側面までの距離(cm)

A-----  $Ae/m$

Ae----主筋周辺のコンクリートの断面積で、主筋  
と同心圆心をもつコンクリートの有効面積

m----主筋の本数

h<sub>i</sub>-----中立軸から引張鉄筋の圆心までの距離

図-2には、Gergely-Lutzの式<sup>2)</sup>における引張鉄  
筋応力2000kg/cm<sup>2</sup>とした場合の値を示した。今  
回の調査結果からは、ばらつきが大きくまた調査数も  
少ないため一概には判断できないが、最大ひびわれ幅  
はGergely-Lutzの式に比べ、若干大きい値となっ  
ていると思われる。

§5 あとは

鉄筋コンクリート構造物のひびわれと鉄筋の腐食に  
ついての調査結果を報告したが、今後より積極的に軽  
便した構造物の調査を行い、耐用年数を考慮した荷重条  
件、環境条件及びかぶりから定まる新築ひびわれ幅を  
決定し、設計に反映する予定である。

[参考文献]

- 1) 岸谷孝一; 鉄筋コンクリートの耐久性, 鹿島  
建設技術研究所出版部 昭38, 2
- 2) Gergely-Lutz; Maximum crack  
Width in Reinforced Concrete  
Flexural Members, ACI SP-20,  
1968.

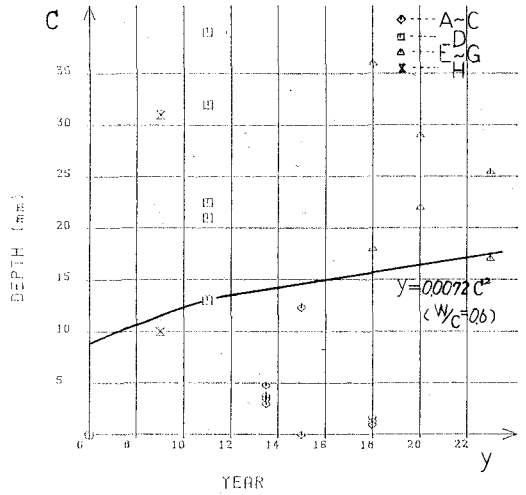


図-1 コンクリート中性化 - 経年  
深さ

表-3 鉄筋の腐食状況

No	橋梁	鉄筋径	主筋のかぶり (mm)	ひびわれ幅 (mm) 測定位置	コンクリートの線応力 $\sigma_c$		腐食状況
					死荷重	死+列+衝	
1	A	D	71	-			II
2	B		76	0.10			
3	B		87	0.20	5.2	8.8	
4	B		78	0.10			
5	B		66	0.10			
6	C		70	0.15			
7	C		50	0.15			
8	C		65	0.10			
9	C		64	0.15	6.1	9.2	
10	C		51	0.10			
11	D		124	0.15			II
12	D		127	0.15			
13	D		121	0.05	5.1	8.0	
14	D		51	0.10			
15	D		48	0.20			
16	E		47	0.20			
17	F		49	0.20	3.2	5.3	
18	F		64	0.10			
19	G		61	0.15			
20	G		58	0.05	6.0	9.2	
21	H		102	0.20			
22	H		52	0.20			
23	H		79	0.20	6.2	9.3	

注)  $\sigma_c$ は、スパン中央全断面有効とした場合のコンクリート  
下縁引張応力度とする。(計算値)

列車荷重は、KS-12相当値とする。

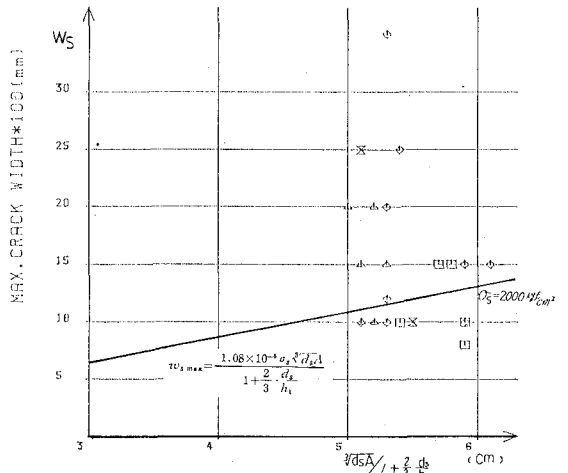


図-2 部材側面鉄筋位置の最大ひびわれ幅